

# مطالعه سنگ‌نگاری و سیستم درزه منطقه بیستون به منظور پی بردن به علل

## فرسایش سنگ‌نوشته بیستون

نوشته: حسن محسنی\*، سعید خدابخش\*، امیر حسین صدر\* و فرهاد آلیانی\*

\*گروه زمین شناسی، دانشکده علوم، دانشگاه بوعلی سینا، همدان، ایران

### of Bisotoun Area, Implications for Petrography and Joint Study Deciphering Factors Controlling Damages on Bisotoun Inscription

Sadr\* & F. Aliani\*. H. Khodabakhsh\*, A. Mohseni\*, S.By: H

\*Department of Geology, Faculty of Science, Bu-Ali Sina University, Hamedan, Iran

تاریخ پذیرش: ۸۵/۰۳/۱۶

تاریخ دریافت: ۸۳/۰۶/۲۸

#### چکیده

سنگ‌نوشته بیستون در کناره شمالی جاده کرمانشاه به همدان و در فاصله ۴۰ کیلومتری شهر کرمانشاه بر روی صخره‌های آهکی کنار جاده نقش بسته است. انحلال سطح سنگ‌نوشته سبب تخریب بخشی از این میراث بی‌نظیر شده است. سن سنگهای مورد مطالعه در محدوده کتیبه یاد شده کرتاسه زیرین است و در پیرامون شبکه گسترده‌ای از رانده‌ها بویژه در شمال-شمال باختری قرار گرفته‌اند که از جمله آنها می‌توان به رانده‌گی پراوکه از روستای نژیوران تا حوالی کرمانشاه ادامه دارد و شبکه رانده‌های بین روستای نادرآباد تا اشرف آباد اشاره کرد. بدین خاطر، آهکهای منطقه به شدت تکتونیزه هستند. شبکه درزه‌ها در این منطقه به شعاع یک کیلومتر به مرکزیت سنگ‌نوشته اندازه‌گیری و تحلیل شدند. دو دسته درزه اصلی در این منطقه توسعه یافته و باعث تشدید انحلال آهکها در ناحیه بیستون شده است. لایه در بردارنده سنگ‌نوشته متشکل از میکرایت فسیل دار (مادستون تا وکستون) با قطعات زیست‌آواری از جنس جلبکهای آهکی با ترکیب اولیه آراگونیتی بوده است و مقداری روزن‌داران و پلت نیز در بین آنها دیده می‌شود. به علت توسعه درزه‌ها و وجود اجزای ناپایدار آراگونیتی، این آهکها در محیط دیاژنزی جوی متحمل انحلال شده و تشدید روند انحلال منجر به کارستی شدن آهکها شده است. تخلخل قالبی، حفره‌ای، کانالی، و غاری از جمله شواهد تأیید کننده روند گسترش انحلال در منطقه است. مشاهده حفره‌های انحلالی به ابعاد چند میلی‌متر تا دهها سانتی‌متر در سطح زمین گویای این موضوع است. توسعه درزه‌ها به همراه شیب لایه‌بندی سبب هدایت سیالهای جوی به سوی سطح (دیواره) سنگ‌نوشته شده است. در نتیجه در محل‌های ریزش آب، چندین حفره در سطح سنگ‌نوشته ایجاد شده و باعث آسیب فراوان آن می‌شود. با توجه به جهت شیب لایه‌بندی و گسترش شبکه کارستی در آهکهای ناپایدار از لحاظ سنگ‌شناسی، تنها راه حل ممکن دور نمودن سیالهای نفوذی خورنده از سطح سنگ‌نوشته و انحراف مسیر تخلیه طبیعی آنهاست.

**کلید واژه‌ها:** دیاژنز، بیستون، کارست، درزه، سنگ‌نگاری، کربنات.

#### Abstract

Bisotoun inscription located on the mid-way of Hamedan- Kermanshah road (40 km to Kermanshah city), is carved on limestone cliffs exposed in the area. Dissolution of the inscription caused serious damage to the most important heritage of the country. The area comprises massive gray limestones of the Lower Cretaceous as a part of high Zagros thrust belt. Accordingly, the limestones are extensively tectonized and two main joint sets are developed in the area. Joint study was performed in an area of one km around the inscription. Thereby, it is revealed that these joint sets had impact on the dissolution of limestones. Limestone beds containing inscription are composed of mudstone to bioclastic algal wackestones. Original mineralogy of these algal bioclasts was aragonite. A few foraminifers and pellet also occur in some samples. Extensive jointing and unstable original mineralogy of limestone components lead to the dissolution of limestones in a meteoric condition. Evidences such as moldic, vuggy, canal, and cavern porosity suggest a meteoric diagenetic environment. Vugs up to centimeter scale in the field observations are evidences of karstification in the area. Jointing and dip direction of the bedding plane cut across the middle part of the inscription; conduct the corrosive rainfall precipitation toward the inscription surface. Consequently dissolution pit and holes were developed on it. Apparently the only practical way for remediation is to keep the inscription surface away from these corrosive waters. Considering the dip direction of the bedding

plane, jointing on limestones and karstification in the area, it is recommended to drain the waters from bedding plane through a canal in a considerable distance from the inscription surface.

**Key words:** Diagenesis, Bisotun, Karst, Joint, Petrography, Carbonates

## مقدمه

آب شیرین متحمل دیاژنز جوی بویژه انحلال اجزای ناپایدار شوند (Mason & Moore, 1982; Follmi et al., 2004). اندازه گیری pH پنج نمونه آب از محل چشمه پای سنگ نوشته در کارخانه قند بیستون و سپس در گروه شیمی دانشگاه بوعلی سینا همدان میانگین pH ۶/۹ را نشان می دهد که بیانگر حضور سیالهای جوی با pH اسیدی در لابلاهای سنگهای منطقه است. هرچند به احتمال زیاد pH آنها پیش از نشت به سطح زمین قاعدتاً باید کمتر از این نیز باشد، زیرا بخش قابل توجهی از گازهای حل شده در آن (بویژه گاز CO<sub>2</sub>) به هنگام رسیدن به سطح در اثر کاهش فشار از آن رها شده و سبب افزایش اندک pH آب می شود. در واقع دسته های درزه به عنوان مسیرهای هدایت آبهای جوی (که به علت اسیدی بودن توانایی انحلال سنگهای آهکی را دارند) به درون آهکها عمل می کنند.

نمونه برداری از لایه در بردارنده سنگ نوشته به منظور مطالعات دقیق سنگ نگاری صورت گرفت (شکل ۲- الف). برای شناخت دولومیت از کلسیت، نمونه ها ابتدا با محلول Alizarin Red S به روش Dickson (1980) رنگ آمیزی شدند. مطالعات سنگ نگاری نمونه آهکهای برداشته شده از لایه مورد بحث نشان می دهد که بیشتر سنگهای صخره بیستون بر اساس روش Folk (1980) از نوع میکرایت و بایومیکرایت است. آهکهای ریزیلور مورد بحث حاوی فسیل روزن داران و قطعات جلبکهای آهکی با ترکیب کانی شناسی اولیه آراگونیتی است. این دانه ها حل شده و تخلخل قالبی آنها را سیمان پر کرده است (شکل ۳- الف). گاهی خرده های جلبک آهکی *Clypeina* sp. شاخص ژوراسیک پسین- کرتاسه پیشین در این آهکها به چشم می خورد (شکل ۳- ب). تخلخل روزنه ای، قالبی، کانالی، حفره ای، تخلخل شکستگی، و تخلخل حفاری از جمله انواع تخلخلهایی هستند که در این آهکها به چشم می خورند. در بیشتر موارد این تخلخلها با سیمان کلسیت اسپاری پر شده است. در برخی نمونه ها مقداری پلت در زمینه گل آهکی مشاهده می شود (شکل ۳- ج و د). لذا ممکن است بخشی از خمیره آهکی این سنگها تا حدی از فشرده شدن و یک پارچه شدن پلت های نرم به وجود آمده باشد. انحلال اجزای ناپایدار آراگونیتی از جمله فرایندهای دیاژنزی محیط تحت جوی است (Al-Aasm & Veizer, 1986; Tucker & Wright, 1990). تخلخلهای قالبی ناشی از انحلال اجزای ناپایدار آراگونیتی توسط سیمان کلسیت اسپاری موزاییکی پر شده اند. این مطلب بیانگر سیمانی شدن در محیطهای جوی اشباع است.

حفاظت و جلوگیری از تخریب بناهای تاریخی موضوعی است که به تنهایی به تأمین امنیت و حفاظت آنها از دستبرد و کنده کاریهای غیرمجاز محدود نمی شود. بسیاری از بناهای تاریخی به مرور زمان دستخوش تغییراتی می شوند که موجب تسریع تخریب آنها می گردد. برخی از بناهای بسیار ارزشمند تاریخی ایران از جمله سنگ نوشته ها و نقوش برجسته بیستون، طاق بستان و گنج نامه بر روی صخره های طبیعی کنده کاری شده اند که در نوع خود در سطح جهانی بی نظیر بوده و از ارزش زیادی برخوردارند. سنگ نوشته گنج نامه از گرانبه بودن و تا حد زیادی مانع از آن شده که این سنگ نوشته در طول زمان دستخوش تغییرات زیاد گردد. اما سنگ نوشته بیستون بر روی صخره های آهکی کنار جاده همدان به کرمانشاه کنده شده است (شکل ۱- الف). قرارگیری این اثر پرارزش باستانی در کنار توده های آهکی تکتونیزه و گسل خورده با فراوانی شبکه گسترده گسلهای رورانده (شکل ۱- ب و ج) موجب شده که آبهای جوی به آسانی در این لایه ها نفوذ کنند بدین خاطر، در سالیان گذشته، چندین حفره بزرگ مخروطی شکل در سطح این سنگ نوشته در محل های خروج آبهای جوی نفوذ کرده از ارتفاعات بالادست به وجود آمده و آسیبهای جدی به بخشهایی از این بنای بسیار ارزشمند وارد کرده است (شکل ۲- الف تا د). تعداد حفره ها در سطح سنگ نوشته، در حال حاضر ۶ عدد است. ارتفاع این حفره ها بین ۲۰ الی ۱۳۰ سانتی متر، عرض آنها بین ۱۱ تا ۹۰ سانتی متر و ژرفای حفره ها از سطح سنگ نوشته بین ۵ الی ۴۰ سانتی متر تغییر می کند. یک سطح لایه بندی با شیب ملایم، صخره در بردارنده سنگ نوشته را از وسط به دو بخش تقسیم کرده است. شیب این سطح لایه بندی به سوی سطح سنگ نوشته است و موجب هدایت و تخلیه آبهای نفوذی بر روی آن می گردد. رشد جلبکها و اسیدهای آلی مترشحه توسط آنها در کنار تأثیر سیالهای جوی، به روند تخریب سنگ نوشته دامن زده اند. با توجه به نکات فوق، سعی شد با مطالعه زمین شناسی منطقه، علل فرسایش و راهکار جلوگیری از آن مشخص و پیشنهاد گردد.

## بحث

هدایت آبهای سطحی منطقه از طریق دو دسته درزه باعث شده است که کربناتهای منطقه در معرض سیالهای جوی در محیط فری آتیوک

می رود از نوع درزه های کشتی باشند. گروه های فرعی ( $J_3, J_4$ ) که معادل  $J_a, J_b$  شکل ۴- الف هستند نیز با راستای کلی شمال باختری-جنوب خاوری و شمال خاوری-جنوب باختری با زاویه ۱۲۰-۶۰ درجه از نوع درزه های مزدوج (conjugate) بوده و احتمالاً در شمار درزه های برشی قرار دارند ولی به لحاظ فراوانی کم، اهمیت چندانی در هدایت آب های سطحی منطقه به سوی لایه های در بردارنده سنگ نوشته ندارند.

درزه های متفرقه دیگری به همراه ( $J_3, J_4$ ) با جهت های پراکنده در سطح منطقه دیده می شوند که با توجه به طول و عمق نفوذ کم، اهمیت زیادی در جذب و هدایت آب های سطحی به درون آهکها ندارند. در مجموع می توان نتیجه گرفت که برای جلوگیری از نشت آب های جوی نفوذ کرده به درون طبقات آهکی و کاهش اثرات مخرب این پدیده باید مسیر خروج آب از سطح سنگ نوشته را به سمت دیگری منحرف نمود (شکل ۴- ب).

مطالعات صحرایی بیانگر توسعه کارستی شدن در آهکهای منطقه است. بروز تخلخل قالبی ناشی از انحلال اجزای ناپایدار کربناتی و سپس گسترش ابعاد تخلخل موجب شده که کانالها و مجاری انحلالی زیادی در این آهکها ایجاد گردد (شکل ۵- الف و ب). این مجاری، خود در هدایت آب های سطحی به سوی لایه های زیرین و در نهایت سطح سنگ نوشته نقش مؤثری دارند. شکل ظاهری این کانالها و مجاری (شکل ۵- الف) نشانه آن است که سازوکار تشکیل آنها در ارتباط با زمین ساخت و درز و شکاف سنگ نبوده و تنها تحت کنترل بافت اولیه سنگ و کانی شناسی اجزای تشکیل دهنده آن است.

### نتیجه گیری

۱- سنگهای در بردارنده سنگ نوشته بیستون از جنس آهک ریزدانه (گل آهکی) و اجزای زیست آواری آنها به طور عمده از جنس جلبکهای آهکی با پوسته آراگونیتی است. این اجزا در محیطهای جوی ناپایدار بوده و حل شده اند.

۲- آهکهای بیستون در زون زاگرس خرد شده قرار داشته و در آنها دو سری درزه مهم توسعه یافته که سبب تسهیل نفوذ سیالهای جوی به درون واحدهای سنگی می شوند.

۳- انواع گوناگون تخلخل در اثر نفوذ سیالهای جوی به درون آهکها ایجاد شده اند که عبارتند از تخلخل روزنه ای، حفاری شده، قالبی، حفره ای، کانالی، غاری، شکستگی و برشی. برخی از این تخلخلها با سیمان کلسیت اسپاری با منشأ محیطهای جوی پر شده اند.

۴- در سامانه جوی مورد بحث، آبهای نفوذ کرده به درون لایه ها از طریق سطوح لایه بندی شیب دار به سمت سطح صخره ها نشت می کنند. یکی از

خمیره (گل) آهکی نیز نشان دهنده وقوع نوزایش (نئومورفیسیم) گل است که در محیط تحت جوی با شست و شوی یونهای مزاحم از قبیل  $Mg^{2+}$  از سطح بلورها سبب رشد بلورها و تبدیل آنها به میکروسپار می شود (Bathurst, 1975; Folk, 1980). تاریخچه زمین شناسی منطقه بیانگر آن است که این سنگها در طول سنوزویک، در اثر بالا آمدن زاگرس مرتفع در معرض فرسایش و بالا آمدگی بوده و عمدتاً طی سنوزویک در محیط دباژنزی دفن کم ژرفا و سپس محیط جوی قرار داشته اند (Falcon, 1954; Braud, 1979; Alavi, 1994). زیرا هیچ گونه شاهد بافتی نشان دهنده دفن عمیق و قابل ملاحظه از قبیل انحلال فشاری و یا استیلولیت در این آهکها دیده نمی شود. بنابراین، تأثیر مداوم سیالهای جوی بر این آهکها موجب گسترش شبکه کارستی و هدایت آب های جوی به درون این لایه ها شده است. ستبرای لایه های سنگی منطقه زیاد بوده و در شمار ستبر لایه تا توده ای قرار دارند. شیب لایه بندی نیز خیلی کم است و حداکثر به ۵ درجه می رسد. مختصات لایه در بردارنده سنگ نوشته عبارت است از  $N35E/5$  SE، که همین شیب اندک به سوی سطح بیرونی سنگ نوشته بوده و سبب تخلیه آنها به این سو می شود.

تراکم درزه ها در منطقه بیستون نقش بسیار اساسی در نفوذ، جذب و هدایت سیالها و آب های سطحی به درون سنگهای منطقه به عهده دارند (شکل ۴- الف). عمده ترین درزه های منطقه، درزه های سیستماتیک با سطوح کمابیش مسطح و موازی هستند که به دو دسته تقسیم می شوند: دسته های  $J_1$  و  $J_2$  شکل ۴- ب. گروه  $J_1$  با روند  $N5E$  تا  $N10W$  (به دلیل موج وارگی سطوح درزه) با شیب ۷۰ الی ۸۰ درجه است. لذا می توان آنها را درزه های قائم با روند تقریبی شمالی- جنوبی نامید. طول این دسته درزه در سطح زمین نسبتاً زیاد بوده و به چندین ده متر می رسد. عمق نفوذ آنها نیز در کناره های صخره ها تا ۴۰ متر برآورد شده است. فواصل این درزه ها ۱ الی ۲ متر است. لذا درزه های گروه  $J_1$  نقش مهمی در هدایت آب های جوی به درون آهکها و کارستی شدن آنها دارند. درزه های  $J_2$  تقریباً عمود بر گروه اول ( $J_1$ ) بوده و می توان آنها را درزه های عمود برهم از نوع کشتی نامید. روند آنها  $N80E$  الی  $N70E$  و شیب آنها ۶۰ درجه به سمت جنوب است. فواصل بین آنها ۳ الی ۱۰ متر است. فصل مشترک این دسته درزه با لایه بندی موجب به وجود آمدن مجاری نشت آب از سطح سنگ نوشته می شود. درزه های  $J_2$  نسبت به  $J_1$  اهمیت کمتری دارند. البته دو دسته درزه فرعی دیگر ( $J_a, J_b$ ) نیز در منطقه دیده می شوند که به علت اهمیت کم، از شرح آنها صرف نظر می گردد. همان گونه که در نمودار ۴- ج پیداست چهار دسته درزه فوق در منطقه قابل شناسایی هستند. گروه  $J_1$  فراوانی بیشتری دارند. گروه  $J_2$  که تقریباً عمود بر گروه قبل بوده و نشان می دهند که دو دسته درزه ارتوگونال یا عمود بر هم تشکیل می دهند که احتمال

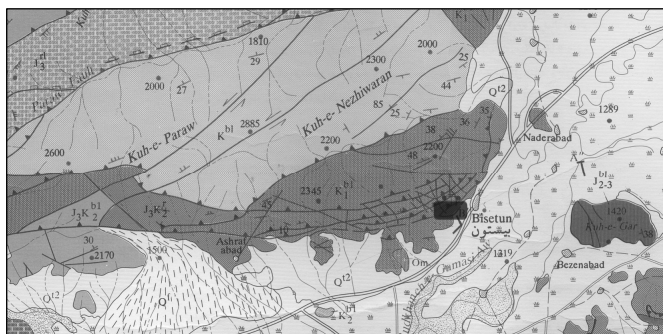
سطح لایه‌بندی بر مبنای موازین دقیق کمی محاسبه شده و پس از شبیه سازی با دقت در محل اجرا گردد.

### سیاسگزاری

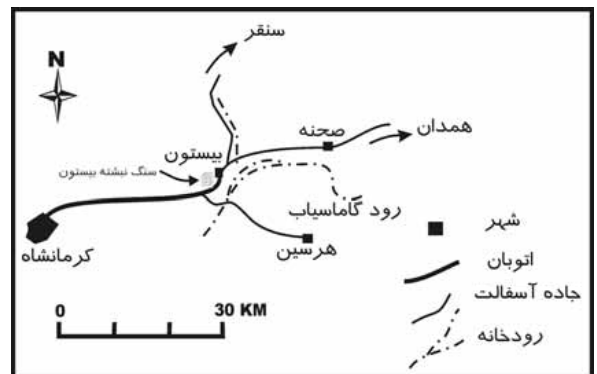
از مدیریت اداره میراث فرهنگی کرمانشاه به خاطر تأمین هزینه‌های این مطالعه تشکر می‌شود. از معاونت محترم اداری و مالی دانشکده علوم دانشگاه بوعلی سینا به خاطر در اختیار گذاشتن وسیله نقلیه جهت تردد به منطقه قدردانی می‌شود. از آقای مهندس عبدالرضا مقدسی از اداره اکتشاف و تولید شرکت ملی نفت به خاطر تشخیص گونه‌های میکروفسیلی تشکر می‌شود. رسم نمودارهای کنترولی توسط سرکار خانم لیلی ایزدی کیان مایه امتنان فراوان است. راهنمایی و همکاری سرکار خانم ملیحه مهدی آبادی کارشناس اداره میراث فرهنگی کرمانشاه موجب قدردانی است. از آقای مهندس محمد مهدی باقری راد کارشناس محترم کارخانه قند بیستون و سرکار خانم مهندس مساعد از گروه شیمی دانشگاه بوعلی سینا به خاطر اندازه‌گیری pH نمونه‌های آب تشکر می‌گردد. جناب آقای الفت از واحد فوق برنامه دانشگاه بوعلی سینا به خاطر عکسبرداری نمونه‌های دستی سیاسگزاری می‌گردد.

این سطوح نشت آبهای جوی، سطح در بردارنده سنگ‌نوشته است که در اثر آن بخشی از سنگ‌نوشته به علت انحلال و در مواردی رسوب مواد در سطح، در حال تخریب است.

۵- راهکار عملی جلوگیری از تشدید این روند، انحراف آبهای نفوذی از سطح لایه‌بندی مورد بحث است که سنگ‌نوشته را به دو بخش تقسیم کرده و تمام حفره‌های ایجاد شده تاکنون در آن سطح تمرکز دارند. بدین ترتیب که با حفر یک گالری کمی شیب‌دار در سطح لایه‌بندی مزبور، مسیر تخلیه آنها را از سطح سنگ‌نوشته به سمت سطح صخره مجاور آن هدایت کرد. همان گونه که در شکل ۴-ب مشخص گردیده است، موقعیت و شیب نسبی این دالان باید به گونه‌ای باشد که در امتداد لایه‌بندی و منطبق بر سطح لایه‌بندی باشد و با شیب کمی به سوی بیرون بتواند آنها را پیش از رسیدن به سطح خروج کنونی در خود جمع و به بیرون هدایت کند. البته واضح است فاصله این دالان تا سطح خارجی سنگ‌نوشته باید به قدری باشد که از ایجاد هر گونه آسیب به آن جلوگیری شود. بنابراین لازم است تا مطالعه تفصیلی بیشتر شامل مکانیک سنگ و خواص مهندسی این سنگها با تکیه بر ویژگیهای مهندسی و پایداری لایه‌ها، قطر، شیب و فاصله دالان پیشنهادی تا



ب



الف

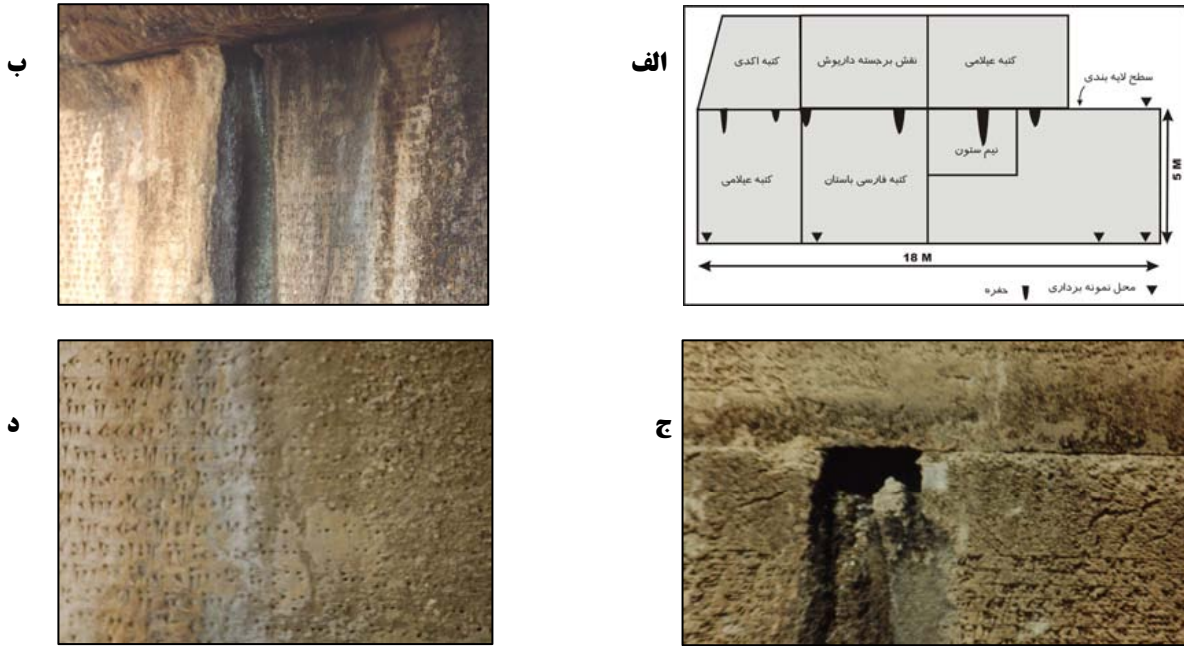
شکل ۱-الف) موقعیت جغرافیایی سنگ‌نوشته بیستون در کنار راه اصلی

همدان - کرمانشاه (بر گرفته از اطلس جاده‌های ایران، ۱۳۸۰)

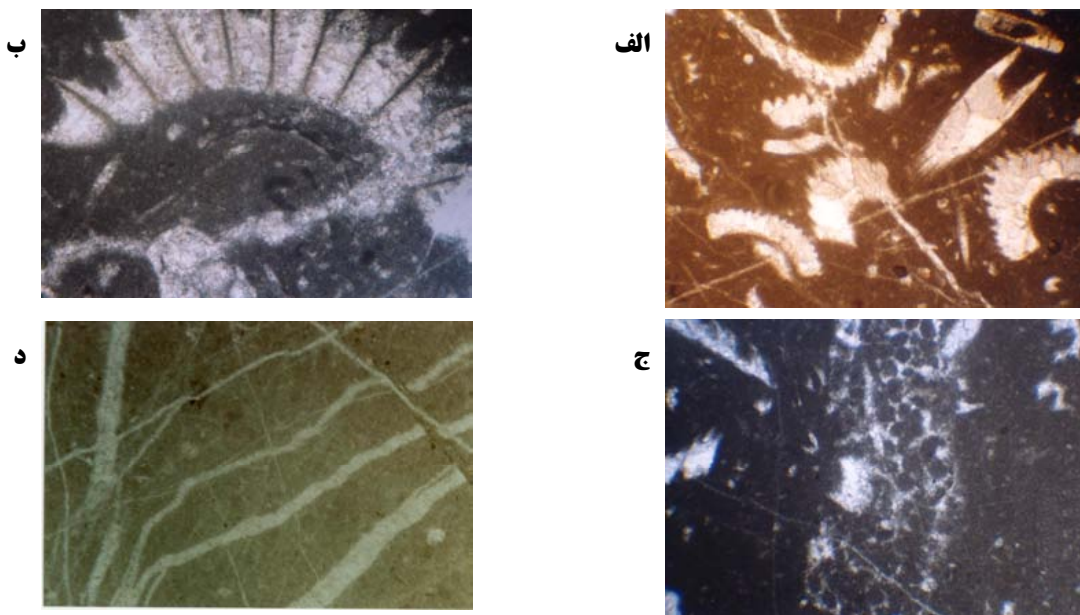
ب) نقشه زمین‌شناسی منطقه بیستون (از Karimi at al., 1999)، موقعیت ساختگاه سنگ‌نوشته با علامت مربع مشخص شده است. ج) تصویری از ساختگاه سنگ‌نوشته بیستون در میان آهکهای تکتونیزه و خردشده بیستون.



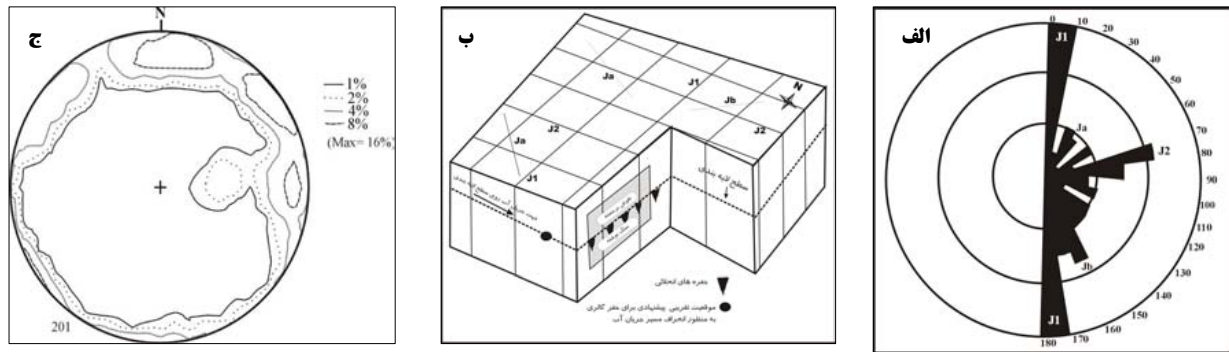
ج



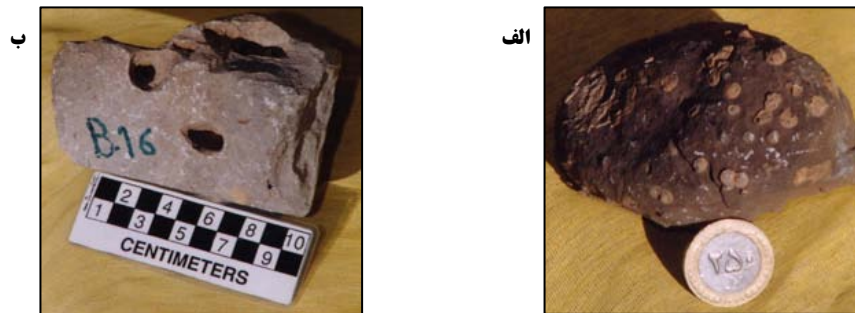
شکل ۲- الف) موقعیت نقوش برجسته و سنگ نوشته‌ها و سطح لایه بندی بین آنها در صخره‌های آهکی بیستون (کرتاسه زیرین).  
 ب) گسترش حفره‌های انحلالی و پیشرفت خوردگی آهکها در نقاط نشأت آب از سطح لایه بندی وسط سنگ نوشته‌ها و نقوش برجسته. ج) تخریب سنگ نوشته در اثر انحلال و ایجاد حفره در سطح سنگ نوشته. د) ایجاد آسیب جدی به متن سنگ نوشته در اثر انحلال سطح صخره در بردارنده آن.



شکل ۳- الف) تصویر میکروسکوپی از آهکهای سنگ نوشته بیستون، به تخلخل قالبی ناشی از انحلال قطعات جلبکهای آهکی که با سیمان کلسیت اسپاری پر شده‌اند توجه شود، نور PPL، ۴۰ برابر. نمونه با محلول آلزارین رنگ آمیزی شده است. ب) تصویر میکروسکوپی جلبک آهکی *Clypeina* sp. در یک وکستون بایوکلسیتی، نور XPPL، بزرگنمایی ۴۰ برابر. ج) بایوکلسیتیک وکستون با تخلخل burrow که توسط پلت و سیمان اسپاری پر شده است، نور PPL، بزرگنمایی ۴۰ برابر. د) تخلخل شکستگی (microfracturing) در مادستون آهکی که با سیمان کلسیت اسپاری پر شده است، نور PPL، بزرگنمایی ۵۰ برابر.



شکل ۴- الف) نمودار گلسرخشی پراکندگی درزه‌ها در آهکهای پیرامون سنگ‌نوشته بیستون، ب) نمودار سه بعدی نشان دهنده موقعیت فضایی درزه‌های اصلی (J<sub>1</sub>, J<sub>2</sub>)، درزه‌های فرعی (J<sub>1a</sub>, J<sub>1b</sub>)، سطح لایه‌بندی با شیب به سوی سطح سنگ‌نوشته و موقعیت تقریبی حفره‌های انحلالی در حد فاصل نقش برجسته و سنگ‌نوشته. موقعیت پیشنهادی حفره‌گاری برای انحراف مسیر خروج آب از سطح سنگ‌نوشته در شکل مشخص شده است. ج) نمودار کنتروری درزه‌های منطقه پیرامون سنگ‌نوشته بیستون تا شعاع ۱ کیلومتری، برای جزئیات به متن مراجعه شود.



شکل ۵- الف) نمونه دستی یک آهک حاوی جلبکهای آهکی از بالادست سنگ‌نوشته. ب) تخلخل کانالی ناشی از انحلال قطعات جلبکهای آهکی.

## کتابنگاری

سازمان حمل و نقل و پایانه‌های کشور، ۱۳۸۰- اطلس جاده‌های ایران، انتشارات همشهری، ۱۶۱ صفحه.

## References

- Al-Aasm, I. S. & Veizer, J., 1986- Diagenetic Stabilization of Aragonite and Low Mg Calcite, II Stable Isotopes in Rudists, J. S. P. 56, No. 6. p. 763-770.
- Alavi, M., 1994 - Tectonic of the Zagros orogenic belt of Iran: new data and interpretations, Tectonophysics 229, p. 211-238.
- Bathurst, R. G. C., 1975- Carbonate sediments and their diagenesis, Amsterdam, Elsevier, 658 p.
- Braud, J., 1978- Geological quadrangle of Iran, No. C 6, scale 1/250000, Geological Survey. Of Iran with Explanatory note.
- Dickson, J.A.D., 1980-Staining thin section: Alizarin Red S and Potassium Ferricyanide stain, in: Okhravi, R., 1982- Carbonate microfacies and Depositional environment of the Joachim Dolomite (Middle Ordovician) Southeast Missouri and Southern Illinois, U. S. A., Unpub. Ph. D. Thesis, Univ. of Illinois (Urbana Champaign), 141 p.
- Falcon, N.L., 1958- Position of oil fields of southwest Iran with respect to relevant sedimentary basins, in: Lewis, G. W. (ed.) Habitat of oil, a symposium conducted by the AAPG, London. P.1279- 93.
- Folk, R. C., 1980- Sedimentary Petrology, Hemphill Pub. Co., Texas, 185 p.
- Follmi, K., Tamburini, F., Hosein R., Van De Schootbrugge, B. Arn K. & Rambeau, C., 2004 - Phosphorus, a Servant Faithful to Gaia? Biosphere Remediation Rather than Regulation, in: Scientists Dabate Gaia, The Next Century, by: Schneider, S. H.; Muller, J. R.; Crist, E. and Boston, P. J. (eds.) MIT Press, Cambridge, P. 79-92.
- Karimi Bavandpour, A., Hajihoseini, A. & Sahandi, M., 1999- Geological map of Kermanshah, 1/100,000, G.S.I.
- Mason, B. & Moore, C. B., 1982- Principles of Geochemistry, John Wiley and Sons, 344p.
- Tucker, M. E. & Wright, P.V. ,1990- Carbonate Sedimentology, Blackwell Scientific Pub. Oxford, 482 p.